

# Les escalators accessibles à tous

Valigny Robin n°49071

17 mai 2023

# SOMMAIRE

- 1 Introduction
- 2 Une étude expérimentale
- 3 Résolution du problème
- 4 Conclusion

# Sommaire

- 1** Introduction
- 2 Une étude expérimentale
- 3 Résolution du problème
- 4 Conclusion

# Le Sujet

- ▷ Les ERP : Plus d'un million en France
- ▷ Un problème d'accessibilité
- ▷ Escalator VS Ascenseur

→ Article R123-22 du Code la construction et de l'habitation

→ Des nouvelles lois depuis 2015

→ 96% des ERP sont accessibles aux personnes handicapées ou se sont engagés dans la démarche prévue par la loi de 2015.

+ **1** milliard  
de personnes  
handicapées  
dans le monde

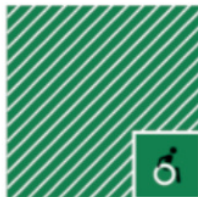
**6%**

de la population mondiale  
touchée par une forme de  
handicap auditif

**1%**

de la population  
mondiale

a besoin  
d'un fauteuil  
roulant



**2,6%** de la population mondiale  
touchée par un handicap  
intellectuel



**17%**

de la population mondiale  
touchée par une forme de  
déficience visuelle

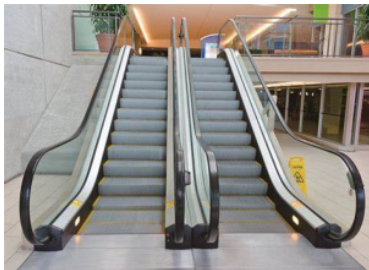
Source: [webzine.okeenea.com](http://webzine.okeenea.com)

# Problématique

**Est-il possible d'aménager les escalators pour permettre aux personnes en fauteuil roulant de les emprunter ?**

# Le but

- ▷ Un escalator :  
degré d'inclinaison :  
 $30^\circ$   
vitesse du tapis :  
 $6\text{m/s}$



- ▷ Un translator :  
Un intermédiaire  
entre un trottoir  
roulant et un escalier  
roulant



# Sommaire

- 1 Introduction
- 2 Une étude expérimentale**
- 3 Résolution du problème
- 4 Conclusion



# Déterminer le centre de gravité par expérimentation

## Montage

- ▷ Un fauteuil roulant de 13kg
- ▷ Deux planches de 3 mètres de long fixées sur un tube telle qu'elles puissent basculer lors du passage du fauteuil
- ▷ Une personne de 70kg sur le fauteuil (moi)



# Déterminer le centre de gravité par expérimentation

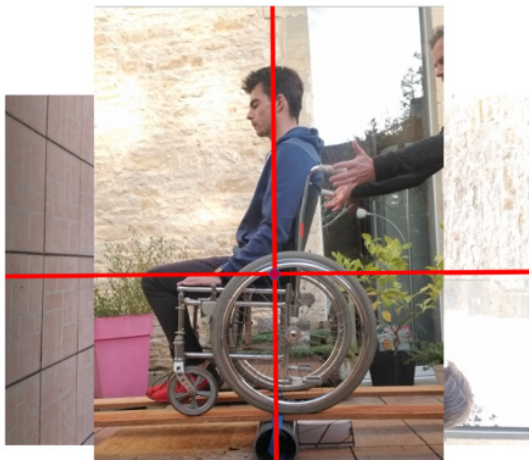
Deux situations



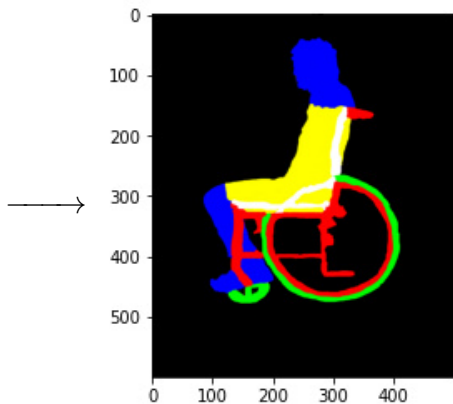
# Déterminer le centre de gravité par expérimentation



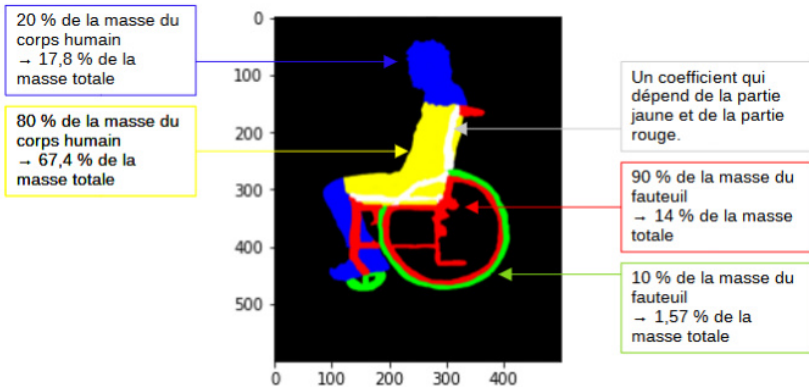
# Déterminer le centre de gravité par expérimentation



# Déterminer le centre de gravité par méthode de Monté Carlo



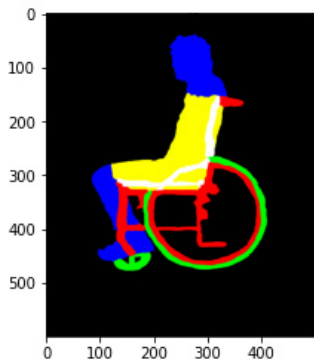
# Déterminer le centre de gravité par méthode de Monté Carlo



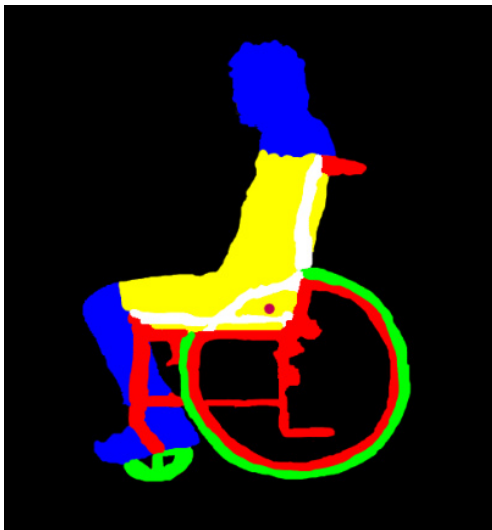
# Déterminer le centre de gravité par méthode de Monté Carlo

## Méthode de Monté Carlo

- ▷ Envoyer 10000 points sur l'image
- ▷ Déterminer les 5 isobarycentres
- ▷ En déduire le barycentre final

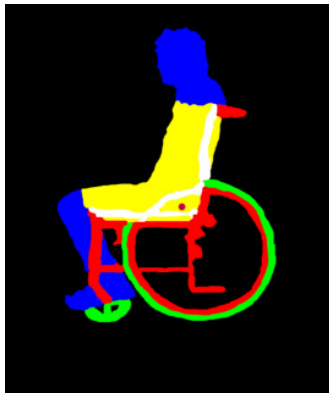


# Nouveau résultat





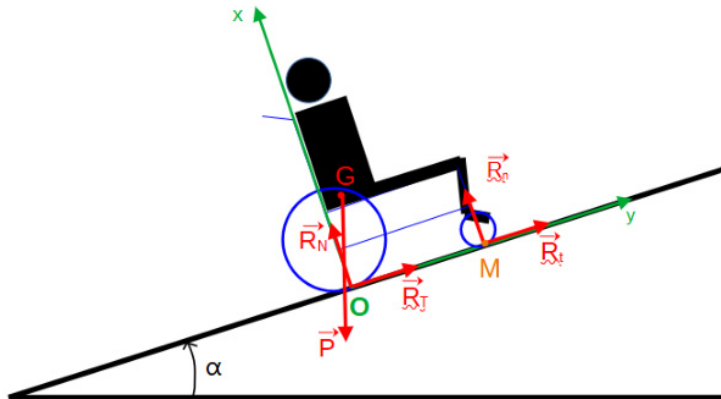
# Comparaison des résultats



# Sommaire

- 1 Introduction
- 2 Une étude expérimentale
- 3 Résolution du problème**
- 4 Conclusion

# Schéma



$$\vec{OG} = 0.54\vec{u}_x + 0.07\vec{u}_y + 0.30\vec{u}_z$$

$$\vec{OM} = 0.38\vec{u}_y + 0.03\vec{u}_z$$

# Bilan des Forces

- ▷ Système : homme+fauteuil de masse  $m$
- ▷ Référentiel du translator galiléen
- ▷ Bilan des forces :

Le Poids :  $\vec{P} = -m \times g \times (\cos \alpha \vec{u}_x + \sin \alpha \vec{u}_y)$

Réaction normale en O :  $\vec{R}_N = R_N \vec{u}_x$

Réaction tangentielle en O :  $\vec{R}_T = R_T \vec{u}_y$

Réaction normale en M :  $\vec{R}_n = R_n \vec{u}_x$

Réaction tangentielle en M :  $\vec{R}_t = R_t \vec{u}_y$

# Moments des forces

Soit X le point où s'applique une force  $\vec{F}$  :  $\overrightarrow{\mathcal{M}_O(\vec{F})} = \overrightarrow{OX} \wedge \vec{F}$

$$\overrightarrow{\mathcal{M}_O(\vec{P})} = \overrightarrow{OG} \wedge \vec{P} = \begin{pmatrix} z_G \times mg \times \sin \alpha \\ z_G \times mg \times \cos \alpha \\ mg \times (-x_G \times \sin \alpha + y_G \times \cos \alpha) \end{pmatrix}$$

$$\overrightarrow{\mathcal{M}_O(\vec{R}_N)} = \overrightarrow{OO} \wedge \vec{R}_N = \vec{0}$$

$$\overrightarrow{\mathcal{M}_O(\vec{R}_T)} = \overrightarrow{OO} \wedge \vec{R}_T = \vec{0}$$

$$\overrightarrow{\mathcal{M}_O(\vec{R}_n)} = \overrightarrow{OM} \wedge \vec{R}_n = \begin{pmatrix} 0 \\ z_M \times R_n \\ -y_M \times R_n \end{pmatrix}$$

$$\overrightarrow{\mathcal{M}_O(\vec{R}_t)} = \overrightarrow{OM} \wedge \vec{R}_t = \begin{pmatrix} -z_M \times R_t \\ 0 \\ 0 \end{pmatrix}$$

# Théorème du moment cinétique

## Théorème du moment cinétique

$$\frac{d\overrightarrow{\mathcal{L}_O(M)}}{dt} = \overrightarrow{\Sigma \mathcal{M}_O(\vec{F})}$$

$$\text{Avec } \frac{d\overrightarrow{\mathcal{L}_O(M)}}{dt} = \frac{d\overrightarrow{OM} \wedge m\vec{v}_M}{dt} = \frac{d\overrightarrow{OM}}{dt} \wedge m\vec{v}_M + \overrightarrow{OM} \wedge m \frac{d\vec{v}_M}{dt}$$
$$\text{Donc } \frac{d\overrightarrow{\mathcal{L}_O(M)}}{dt} = \vec{0}$$

# Expression de $R_n$

D'après le TMC : 
$$\vec{0} = \overrightarrow{\mathcal{M}_O(\vec{P})} + \overrightarrow{\mathcal{M}_O(\vec{R}_t)} + \overrightarrow{\mathcal{M}_O(\vec{R}_n)}$$

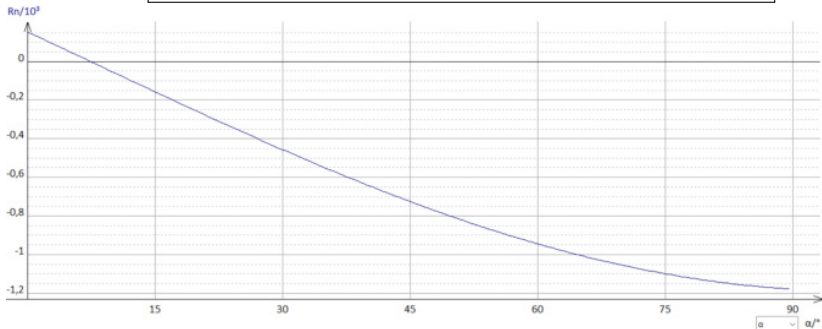
Projection sur  $\vec{u}_z$  :

$$-y_M \times R_n = mg \times (-x_G \times \sin \alpha + y_G \times \cos \alpha)$$

$$R_n = \frac{mg}{y_M} \times (-x_G \times \sin \alpha + y_G \times \cos \alpha)$$

# Courbe de $R_n$

Ainsi : 
$$R_n(\alpha) = \frac{830}{0.38} \times (-0.54 \times \sin \alpha + 0.07 \times \cos \alpha)$$





# Déterminer l'inclinaison limite

On cherche  $\alpha = \alpha_0$  tel que  $R_n = 0$ .

On résout donc :

$$\frac{830}{0.38} \times (-0.54 \times \sin \alpha_0 + 0.07 \times \cos \alpha_0) = 0$$

Ainsi on obtient :  $\alpha_0 = \arctan\left(\frac{0.07}{0.54}\right)$

$$\alpha_0 = 7.39^\circ$$

# Une amélioration possible

$$\frac{mg}{y_M} \times (-x_G \times \sin \alpha_0 + y_G \times \cos \alpha_0) = 0$$



On note :  $y'_G = y_G + \Delta y$

$$\text{Ainsi, } R_n = 0 \Rightarrow \alpha_0 = \arctan\left(\frac{y'_G}{x_G}\right) = \arctan\left(\frac{y_G + \Delta y}{x_G}\right)$$

Inclinaison maximale,  
 $\alpha_0$  en degré



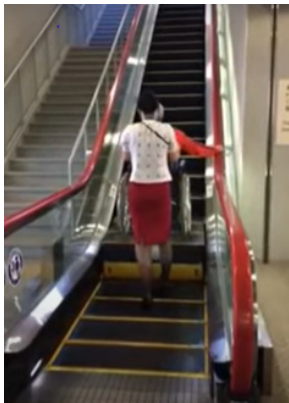
# Sommaire

- 1 Introduction
- 2 Une étude expérimentale
- 3 Résolution du problème
- 4 Conclusion**



## Des recherches en cours

Un dispositif développé par la société japonaise Mitsubishi Electric.



Source: [neozone.org](http://neozone.org)

# Annexe

```
from PIL import Image
img= Image.open('C:/Users/robin/OneDrive/Documents/tipemontecarlo/photo10.jpg')
h=600
l=500
for y in range(h):
    for x in range(l):
        r,v,b=img.getpixel((x,y))
        if r<10 and v<10 and b<10:
            img.putpixel((x,y),(0,0,0))
        if r>200 and v<200:
            img.putpixel((x,y),(255,0,0))
        if b>200 and r<150:
            img.putpixel((x,y),(0,0,255))
        if r>200 and v>200 and b<100:
            img.putpixel((x,y),(255,255,0))
        if r>200 and v>200 and b>200:
            img.putpixel((x,y),(255,255,255))
        if r<100 and v>200 and b<100:
            img.putpixel((x,y),(0,255,0))
```

# Annexe

```
def ExtractionPoints(n):
    B=[] ## Liste des points en bleu
    R=[] ## En rouge (métal)
    V=[] ## En vert (pneu)
    D=[] ## En blanc (homme+métal)
    J=[] ## En jaune

    for i in range(n):
        p=rd.rangrange(1,l-1)
        q=rd.rangrange(1,h-1)
        ro,ve,bl=img.getpixel((p,q))
        if ro==255 and ve!=255 and bl!=255:
            R.append(np.array([p,q]))
        if ve==255 and ro==255 and bl!=255:
            V.append(np.array([p,q]))
        if bl==255 and ve!=255 and ro!=255:
            B.append(np.array([p,q]))
        if bl==255 and ve==255 and ro==255:
            D.append(np.array([p,q]))
        if bl!=255 and ve==255 and ro!=255:
            J.append(np.array([p,q]))

    return B,R,V,D,J
```

```
def barycentre(n):
    B,R,V,D,J=ExtractionPoints(n)

    ##### Calculs des isobarycentres des zones en bleu, rouge, vert, blanc et jaune
    GB=sum(B)/len(B)
    GR=sum(R)/len(R)
    GV=sum(V)/len(V)
    GD=sum(D)/len(D)
    GJ=sum(J)/len(J)

    ##### Calcul du barycentre final
    cB=len(B)/n*0.188*83
    cR=len(R)/n*0.14*83
    cV=len(V)/n*0.0157*83
    cD=len(D)/n*0.814*83
    cJ=len(J)/n*0.674*83

    G=(cB*GB+cR*GR+cV*GV+cD*GD+cJ*GJ)/(cB+cR+cV+cD+cJ)

    ##### Tracé du barycentre final
    img.putpixel((int(G[0]),int(G[1])),(255,20,147))
    img.show()
    return G

print(barycentre(10000))
```